

# Этаноловая (алкогольная) септальная аблация у пациента с болезнью Фабри и многоуровневой обструкцией левого желудочка. Клинический случай

Каштанов М. Г. <sup>1,2</sup>, Ведерников А. А. <sup>3</sup>, Межонов Е. М. <sup>3,4</sup>, Распопова Е. С. <sup>3</sup>, Рейтблат О. М. <sup>3</sup>

Введение. Болезнь Фабри (БФ) может имитировать гипертрофическую кардиомиопатию и сопровождаться обструкцией выносящего тракта левого желудочка или средне-желудочковой обструкцией. В случае наличия у пациента внутриполостной обструкции и рефрактерной к медикаментозной терапии сердечной недостаточности может быть рассмотрена септальная редукция. Краткое описание. Нами представлен случай этаноловой септальной аблации (ЭСА) у пациента женского пола с генетически подтвержденной БФ и симптоматической многоуровневой внутриполостной обструкцией. Ей проведена транскатетерная ЭСА с последующим устранением средне-желудочковой обструкции и обструкции выносящего тракта левого желудочка. Гемодинамический эффект сохранялся в течение последующих 3 мес. наблюдения.

Дискуссия. Наш случай иллюстрирует факт, что ЭСА может быть эффективной и безопасной в устранении обструкции у пациентов с БФ при условии дальнейшего наблюдения за внутрисердечной гемодинамикой.

Ключевые слова: алкогольная септальная аблация, болезнь Фабри, обструктивная гипертрофическая кардиомиопатия.

#### Отношения и деятельность: нет.

<sup>1</sup>Тюменский кардиологический научный центр, ФГБНУ Томский НИМЦ РАН, Тюмень; <sup>2</sup>ФГАОУ ВО Уральский федеральный университет им. Б. Н. Ельцина, Екатеринбург; <sup>3</sup>ГБУЗ ТО Областная клиническая больница № 1, Тюмень; <sup>4</sup>ФГБОУ ВО Тюменский ГМУ Минздрава России, Тюмень, Россия.

Каштанов М. Г.\* — н.с. лаборатории рентгенхирургических методов диагностики и лечения, зав. экспериментальной лабораторией физико-технологического института, ORCID: 0000-0002-0467-4817, Ведерников А.А. — врач-кардиолог кардиологического отделения № 2, ORCID: 0009-0002-1297-5035, Межонов Е. М. —

д.м.н., профессор кафедры кардиологии и кардиохирургии с курсом скорой помощи Института клинической медицины, врач-кардиолог, ORCID: 0000-0002-6086-4578, Распопова Е.С. — врач УЗИ, отделение ультразвуковой и функциональной диагностики. ORCID: 0009-0004-0638-0363. Рейтблат О.М. — к.м.н.. руководитель Регионального сосудистого центра, ORCID: 0000-0002-9407-5497.

\*Автор, ответственный за переписку (Corresponding author): kashtanov-maksim@mail.ru

БФ — болезнь Фабри, ВТЛЖ — выносящий тракт левого желудочка, ГКМП гипертрофическая кардиомиопатия, ЛЖ — левый желудочек, МЖП — межжелудочковая перегородка, МРТ — магнитно-резонансная томография, СН — сердечная недостаточность, ФЗТ — фермент-заместительная терапия, Т6Х — тест с 6-минутной ходьбой, ЭСА — этаноловая септальная аблация, ЭхоКГ кардиография, AGALA —  $\alpha$ -галактозидаза A, LVOTO — left ventricular outflow  $tract\ obstruction,\ OTW-over-the-wire\ balloon.$ 

Рукопись получена 18.02.2025 Рецензия получена 08.06.2025 Принята к публикации 08.07.2025





Для цитирования: Каштанов М.Г., Ведерников А.А., Межонов Е.М., Распопова Е.С., Рейтблат О.М. Этаноловая (алкогольная) септальная аблация у пациента с болезнью Фабри и многоуровневой обструкцией левого желудочка. Клинический случай. Российский кардиологический журнал. 2025;30(10S):6295. **A** doi: 10.15829/1560-4071-2025-6295. EDN: GXOQST

# Alcohol septal ablation in a patient with Fabry disease and multilevel left ventricular obstruction. A case report

Kashtanov M. G.<sup>1,2</sup>, Vedernikov A. A.<sup>3</sup>, Mezhonov E. M.<sup>3,4</sup>, Raspopova E. S.<sup>3</sup>, Reitblat O. M.<sup>3</sup>

Introduction. Fabry disease (FD) can mimic hypertrophic cardiomyopathy and be accompanied by left ventricular outflow tract obstruction or midventricular obstruction. In the case of intraventricular obstruction and refractory heart failure, septal reduction may be considered.

Brief description. We present a case of alcohol septal ablation (ASA) in a female patient with genetically confirmed FD and symptomatic multilevel intraventricular obstruction. She underwent transcatheter ASA with subsequent elimination of midventricular obstruction and left ventricular outflow tract obstruction. The hemodynamic effect was maintained during the next 3-month follow-up.

Discussion. Our case shows the fact that ASA can be effective and safe in eliminating obstruction in patients with FD, provided that intracardiac hemodynamics are further monitored.

Keywords: alcohol septal ablation, Fabry disease, obstructive hypertrophic cardiomyopathy.

Relationships and Activities: none.

<sup>1</sup>Tyumen Cardiology Research Center, Tomsk National Research Medical Center, Tyumen; <sup>2</sup>Ural Federal University, Yekaterinburg; <sup>3</sup>Tyumen Region Regional Clinical Hospital № 1, Tyumen; <sup>4</sup>Tyumen State Medical University, Tyumen, Russia.

Kashtanov M. G.\* ORCID: 0000-0002-0467-4817, Vedernikov A. A. ORCID: 0009-0002-1297-5035, Mezhonov E. M. ORCID: 0000-0002-6086-4578, Raspopova E. S. ORCID: 0009-0004-0638-0363, Reitblat O.M. ORCID: 0000-0002-9407-5497.

\*Corresponding author: kashtanov-maksim@mail.ru

**Received:** 18.02.2025 **Revision Received:** 08.06.2025 **Accepted:** 08.07.2025

For citation: Kashtanov M. G., Vedernikov A. A., Mezhonov E. M., Raspopova E. S., Reitblat O.M. Alcohol septal ablation in a patient with Fabry disease and multilevel left ventricular obstruction. A case report. Russian Journal of Cardiology. 2025;30(10S):6295. doi: 10.15829/1560-4071-2025-6295. EDN: GXOQST

#### Ключевые моменты

- Болезнь Фабри (БФ) с преимущественным поражением сердца может имитировать гипертрофическую кардиомиопатию и сопровождаться обструкцией выносящего тракта и даже среднежелудочковой обструкцией.
- Мировой опыт септальной редукции у пациентов с БФ ограничен лишь описанием случаев и небольшими сериями.
- Насколько нам известно, нами представлен первый случай этаноловой септальной аблации у пациента с БФ и многоуровневой обструкцией.
- Продемонстрирована безопасность и эффективность этаноловой септальной аблации у пациента с БФ.
- Накопление опыта подобных процедур будет способствовать аккумулированию знаний относительно их эффектов на клинические показатели и параметры мультимодальной визуализации и, вероятно, улучшению исходов в этой популяции.

#### Введение

Болезнь Фабри (БФ) представляет собой наследственное X-сцепленное заболевание, относящееся к лизосомным болезням накопления, вызванное нарушением метаболизма сфинголипидов по причине дефицита или отсутствия активности лизосомальной α-галактозидазы A (AGALA) [1]. Сообщается о встречаемости (incidence) данного заболевания в мире как 1 на 40000-117000 пациентов [2]. Недостаточность AGALA вызывает аккумуляцию сфинголипидов в большинстве клеток организма, что приводит к нарушениям функций сердечно-сосудистой системы, почек, нервной системы, желудочно-кишечного тракта, кожи, органов зрения и слуха [3].

Согласно опроснику регистра Fabry Outcome Survey симптомы со стороны сердца встречаются более чем у 60% пациентов: у 23% симптомы вызваны сердечной недостаточностью (СН), у 23% болью в грудной клетке, у 27% аритмией [4].

Поражение сердца может развиваться в молодом возрасте и медленно прогрессировать субклинически, чаще всего проявляясь гипертрофией миокарда, имитируя таким образом гипертрофическую кардиомиопатию (ГКМП) [5]. В отличие от ГКМП обструкция выносящего тракта левого желудочка (ВТЛЖ) является скорее нетипичным проявлением БФ [4].

Тактика ведения пациентов с СН, вызванной обструкцией левого желудочка (ЛЖ), хорошо разработана для пациентов с ГКМП. При наличии рефрак-

# Key messages

- Fabry disease (FD) cardiomyopathy may mimic hypertrophic cardiomyopathy and be associated with outflow tract obstruction and even midventricular obstruction.
- Worldwide experience with septal reduction in patients with FD is limited to case reports and small case series.
- To our knowledge, we present the first case of alcohol septal ablation in a patient with FD and multilevel obstruction.
- Safety and efficacy of alcohol septal ablation in a patient with FD are demonstrated.
- Accumulating experience with similar procedures will contribute to the accumulation of knowledge regarding their effects on clinical and multimodality imaging parameters, and possibly improve outcomes in this population.

терной к медикаментам СН рассматривается возможность септальной редукции: хирургической миэктомии или этаноловой (алкогольной) септальной аблации (ЭСА) [6, 7].

В данной публикации мы представляем случай лечения пациентки, страдающей БФ и выраженной СН, рефрактерной к медикаментозному лечению, одной из причиной которой является многоуровневая обструкция ЛЖ. Учитывая отказ федеральных (экспертных) центров от выполнения миэктомии у данной пациентки, принято решение о выполнении ЭСА.

В настоящий момент имеются лишь незначительные литературные данные о возможности выполнения ЭСА у пациентов с БФ, которые ограничиваются только несколькими описаниями случаев и 1 серией случаев [8-10]. Насколько нам известно это первый случай пациента, который подвергся ЭСА при многоуровневой обструкции (средне-желудочковой обструкции, обструкции ВТЛЖ).

### Клинический случай

Женщина 63 года, в жалобах имеются приступы атипичной стенокардии и внезапной нехватки воздуха, одышки при физической нагрузке (подъеме на 2 этаж), головокружение.

При проведении каскадного скрининга в 2022г после диагностированной в условиях диализного центра БФ у сына пациентки выявлена семейная мутация с. 88A >T, повышение Lyso-Gb3 10,9 нг/мл (референс 0,05-3 нг/мл), AGALA в норме 5,2 (референс 0,8-15).

С 2022г в условиях кардиологического отделения № 2 областной клинической больницы № 1 г. Тюмень инициирована фермент-заместительная

# Таблица 1

#### ЭхоКГ динамика у пациентки

| Дата                                     | 01.04.2022 | 21.10.2023 | 09.08.2024 |
|--|------------|------------|------------|
| Показатель                               |            |            |            |
| ЛП М/В-режим, мм                         | 43         | 45         | 48         |
| МЖП, мм                                  | 13         | 15         | 19         |
| ЗС ЛЖ, мм                                | 12         | 13         | 20         |
| ИММЛЖ, г/м <sup>2</sup>                  | 113        | 167        | 209        |
| GLS, %                                   | -          | -          | 12,2       |
| СДЛА, мм рт.ст.                          | 28         | 27         | 44         |
| Пиковый градиент ВТЛЖ в покое, мм рт.ст. | 43         | 36         | 66         |

Сокращения: ВТЛЖ — выносящий тракт левого желудочка, ЗС ЛЖ — задняя стенка левого желудочка, ИММЛЖ — индекс массы миокарда левого желудочка, ЛП — левое предсердие, МЖП — межжелудочковая перегородка, СДЛА — систолическое давление в легочной артерии, GLS — global longitudinal strain.

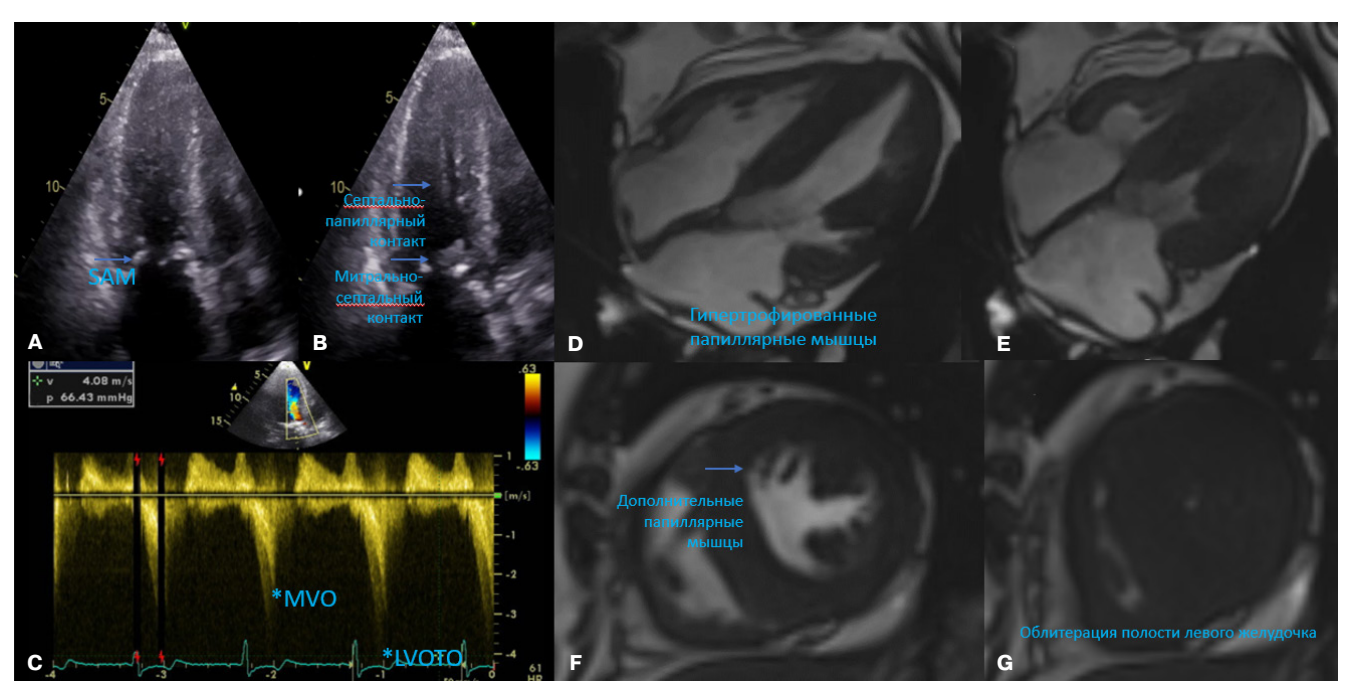


Рис. 1. Данные мультимодальной визуализации до вмешательства.

#### Примечание:

А-В. ЭхоКГ иллюстрация передне-систолического движения митрального клапана, а также контакта митрального клапана и папиллярных мышц с МЖП.

**С**. Сканирование с использованием непрерывно-волнового Допплера демонстрирует наличие спектров, соответствующих средне-желудочковой обструкции и обструкции на уровне ВТЛЖ.

**D-G**. МРТ демонстрация феномена облитерации полости ЛЖ.

 $\mathbf{C}$ окращения:  $\mathbf{B}$ ТЛЖ — выносящий тракт левого желудочка, ЛЖ — левый желудочек, МЖП — межжелудочковая перегородка,  $\mathbf{M}$ РТ — магнитно-резонансная томография,  $\mathbf{S}$ Охок $\mathbf{F}$  — эхокардиография,  $\mathbf{L}$ VOTO — left ventricular outflow tract obstruction,  $\mathbf{M}$ VO — midventricular obstruction,  $\mathbf{S}$ AM — systolic anterior motion.

терапия (ФЗТ) агалсидазой-бета, которую пациентка получает 1 раз в 2 нед. по настоящее время. На фоне проводимой ФЗТ по данным эхокардиографии (ЭхоКГ) в динамике наблюдались увеличение толщины стенок ЛЖ и индекс массы миокарда ЛЖ, нарастание пикового градиента давления в ВТЛЖ в покое с 43 до 66 мм рт.ст. (табл. 1).

На рисунке 1 представлены данные мультимодальной визуализации сердца пациентки. Многоуровневая обструкция была вызвана незначительным стенозом аортального клапана (peak gradient 20 мм рт.ст.,

теап gradient 12 мм рт.ст.), выраженной обструкцией ВТЛЖ (66 мм рт.ст.), а также средне-желудочковой обструкцией (40 мм рт.ст.). Представлены спектры при сканировании с помощью непрерывно волнового Допплера соответствующие средне-желудочковой обструкции и обструкции ВТЛЖ. При магнитнорезонансной томографии (МРТ) сердца не выявлено специфичного для БФ отсроченного усиления в задне-латеральных сегментах (Т1 картирование не проводилось). Визуализирован феномен облитерации полости ЛЖ в систолу.

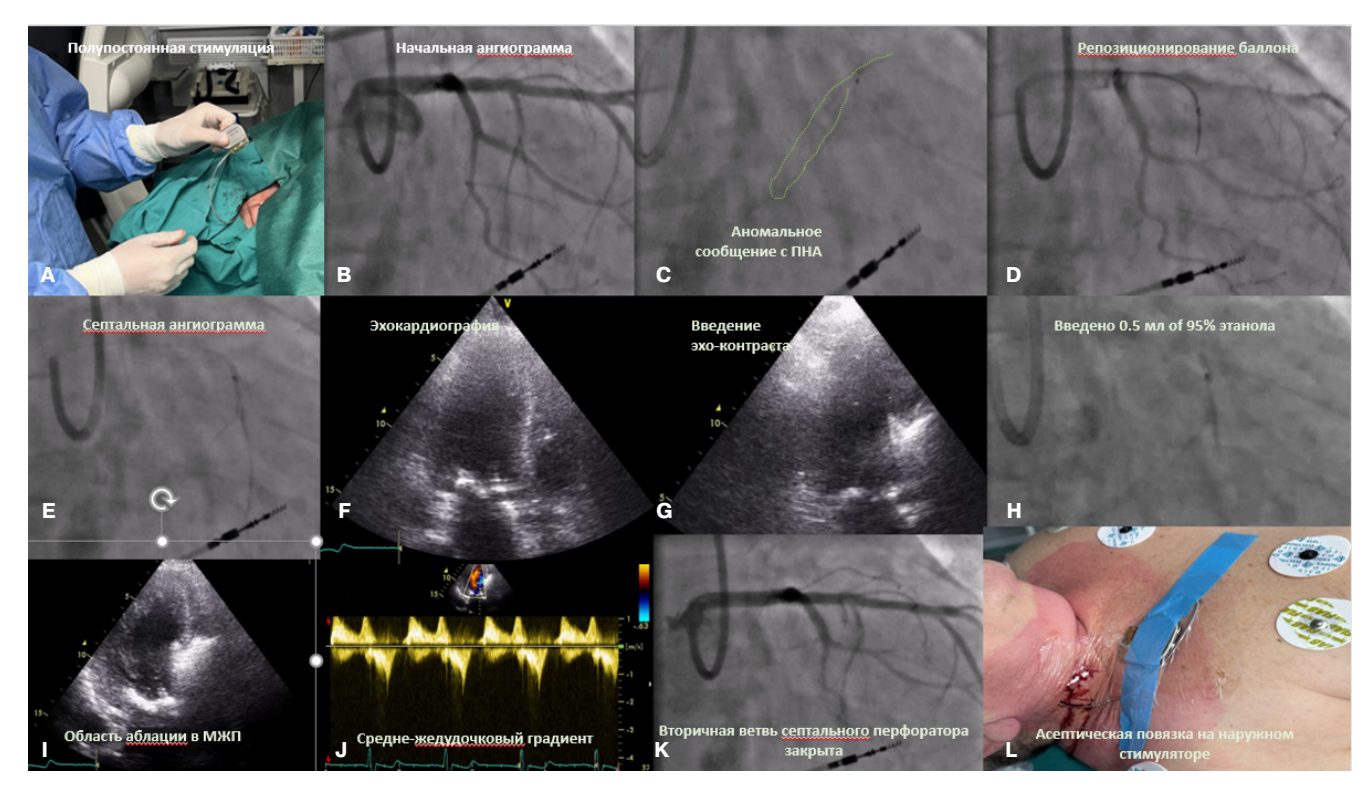


Рис. 2. Ключевые особенности вмешательства (ЭСА).

#### Примечание:

- А. Установка электрода с активной фиксацией, подключение к наружному постоянному электрокардиостимулятору ("полупостоянная стимуляция").
- В. Начальная ангиограмма левой коронарной артерии. Визуализированы потенциальные целевые септальные ветви.
- **С**. При инъекции через раздутый баллон Emerge OTW (over-the-wire balloon) 1,5\*8 мм (Boston Scientific) определяется аномальное сообщение данной ветви с передней нисходящей артерией.
- **D**. Выполнено репозиционирование баллона в другую ветвь.
- Е. Ангиограмма септальной ветви. Аномального сообщения нет.
- **F-G**. Выполнена трансторакальная ЭхоКГ, для эхоконтрастирования введено 1 мл смеси 4% гелофузина с контрастом и воздухом (соотношение 1:1:1). Отмечается четкая зона перфузии, соответствующая уровню обструкции, и не кровоснабжающая нецелевые участки.
- Н. Выполнена инъекция 0,5 мл 95% этанола с последующим вытеснением его из шафта баллона небольшой порцией контраста.
- I. На ЭхоКГ отмечается область аблации с четкими краями с ЭхоКГ тенью дистальнее зоне воздействия.
- **Ј**. Отмечается полное устранение градиента ВТЛЖ и остаточный средне-желудочковый градиент давления 9 мм рт.ст.
- ${f K}$ . На контрольной ангиограмме отмечается окклюзия вторичной ветви целевой септальной артерии.
- L. Наложена асептическая повязка на область наружного постоянного стимулятора.

Сокращения: ВТЛЖ — выносящий тракт левого желудочка, МЖП — межжелудочковая перегородка, ПНА — передняя нисходящая артерия, ЭхоКГ — эхокардиография.

На фоне ФЗТ и квадротерапии хронической СН, включающей дапаглифлозин 10 мг, спиронолактон 50 мг, лозартан 25 мг, бисопролол 5 мг (максимально переносимая доза), отмечалось уменьшение микроальбуминурии с 752 мг/сут. от 07.2022 до 123 мг/сут. к 08.2024 и относительно стабильные показателях скорости клубочковой фильтрации (68 мл/мин/1,73 м² по MDRD от 08.2023, 60,4 мл/мин/1,73 м² по MDRD от 08.2024). Тем не менее у пациентки наблюдались усиление одышки и снижение толерантности к физической нагрузке. Тест с 6-минутной ходьбой (ТбХ) от 08.2023: 330 метров. ТбХ от 08.2024: 250 метров.

# Процесс принятия решения

Учитывая продолжающееся увеличение толщины стенок ЛЖ и градиента давления, приводящие к обструкции ВТЛЖ в покое, имеющуюся одышку, увеличение функционального класса до 3, мульти-

дисциплинарным консилиумом, включающим рентгенхирургов, сердечно-сосудистых хирургов, кардиологов, была рекомендована септальная редукция (хирургическая миэктомия). Проведена телемедицинская консультация с ФГБУ "НМИЦ им. акад. Е. Н. Мешалкина" Минздрава России, получен ответ: наблюдение у врача-кардиолога по месту жительства. Выполнение септальной миоэктомии сомнительно, сопряжено с высокими рисками. Продолжить патогенетическое лечение.

Оценив анатомию сердца, данные коронарной ангиографии, желание самой пациентки, а также учитывая имеющийся опыт в лечении ГКМП нашего центра, нами был сделан выбор в пользу ЭСА.

#### Детали вмешательства

Процедура ЭСА выполнялась в асептических условиях. Техника выполнения вмешательства была по-

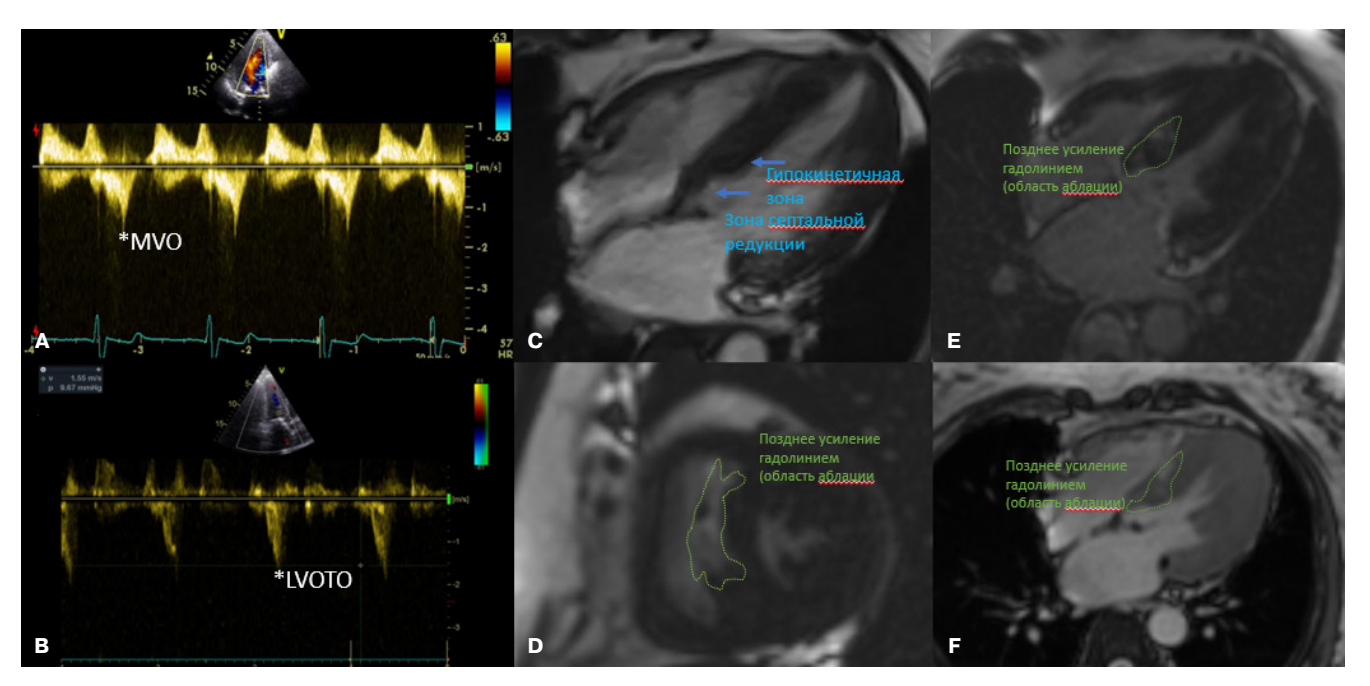


Рис. 3. Мультимодальная визуализация через 3 мес. после вмешательства (ЭСА).

- A-B. Данные ЭхоКГ: средне-желудочковый градиент (\*midventricular obstruction), пиковый градиент ВТЛЖ (\*LVOTO).
- С. МРТ демонстрирует гипоакинетичную зону базального переднего перегородочного сегмента ЛЖ в зоне предшествующего воздействия 95% этанолом.
- **D-F.** Распределения гадолиния при позднем усилении, соответствующее базальным и частично средним сегментам.

Сокращения: ВТЛЖ — выносящий тракт левого желудочка, ЛЖ — левый желудочек, МРТ — магнитно-резонансная томография, ЭхоКГ — эхокардиография, LVOTO — left ventricular outflow tract obstruction, MVO — midventricular obstruction, SAM — systolic anterior motion.

дробно описана ранее [11]. У данного вмешательства имелись следующие особенности. Катетеризировать ЛЖ не удалось ввиду кальциноза аортального клапана. После нескольких попыток пройти аортальный клапан гидрофильным проводником 0,035 дюйма решено воздержаться от дальнейших попыток. Решено выполнить процедуру ЭСА изолированно под контролем трансторакального ЭхоКГ без регистрации гемодинамических кривых. При интраоперационной трансторакальной ЭхоКГ отмечался градиент давления на аортальном клапане — 20 мм рт.ст., обструкция ВТЛЖ с градиентом давления 66 мм рт.ст., среднежелудочковая обструкция 40 мм рт.ст.

Через пункционный доступ во внутренней яремной вене справа в правый желудочек проведен электрод с активной фиксацией и установлен в межжелудочковую перегородку (МЖП). Инициирована "полупостоянная" стимуляция с частотой 45 в минуту в режиме "по требованию" (рис. 2).

Через доступ в правой лучевой артерии в устье ствола левой коронарной артерии установлен гайд-катетер Eacath Sheathless guide 7.5F PB3.5 (ASAHI Intecc). Выполнена ангиография левой коронарной артерии. Выявлена септальная ветвь (перфоратор), потенциально следующая к целевому фрагменту МЖП соответствующему уровню обструкции. Септальная ветвь катетеризирована проводником Fielder 0.014 inch (ASAHI Intecc). По проводнику в перфоратор заве-

ден коронарный баллон Emerge OTW 1,5\*8 мм (Boston Scientific). Баллон раздут до 6 атм. Подтверждена надежная окклюзия септальной ветви. Через просвет баллона введен ЭхоКГ контраст 1 мл (смесь 1/3 гелофузина 4%, 1/3 контраста, 1/3 воздуха). При интраоперационной трансторакальной ЭхоКГ отмечается опалесценция целевого участка МЖП, соответствующая уровню средне-желудочковой обструкции. Толщина МЖП измерена в соответствии с текущими рекомендациями ASE [12]. Через шафт баллонного катетера введено 0,5 мл 95% этанола с последующей экспозицией в течение 5 мин. Получен эффект в виде снижения средне-желудочкового пикового градиента давления с 40 мм рт.ст. до 15 мм рт.ст. Процедура была завершена. Пациентка переведена в палату интенсивной терапии. В послеоперационном периоде и при последующем наблюдении сохранялся синусовый ритм. Через 2 сут. пациентка переведена в общую палату. Послеоперационный период протекал без осложнений, на 8-е сут. пациентка была выписана из стационара.

### Последующее наблюдение

При последующем наблюдении в течение 3 мес. у пациентки отмечалось улучшение функционального статуса, снижение выраженности СН до 2 функционального класса. Снизился уровень N-концевого промозгового натрийуретического пептида с 2164 пг/мл от 08.2024 до 1567 пг/мл от 12.2024, увеличился Т6Х до 360 метров.

При контрольном холтеровском мониторировании через 3 мес. — ритм синусовый, постоянная полная блокада правой ножки пучка Гиса. При контрольной ЭхоКГ отмечается пиковый градиент давления ВТЛЖ 9 мм рт.ст., средне-желудочковый пиковый градиент давления — 6 мм рт.ст. На МРТ отмечаются закономерные изменения в виде отсроченного усиления в базальных и средних передних сегментах ЛЖ (рис. 3).

### Обсуждение

Данный случай иллюстрирует техническую возможность, безопасность и эффективность ЭСА у пациентки, страдающей БФ.

В обычной ситуации, одним из критериев отбора больных для ЭСА является минимальная толщина МЖП ≥16 мм [13]. Основной проблемой данной процедуры была переменная толщина МЖП в целевой зоне от 13 мм до 17 мм, что создавало потенциальный риск грозного осложнения ятрогенного септального дефекта. Поэтому при выполнении аблации использовались ультрамалые дозы 95% этанола (0,5 мл).

Обструкция была вызвана как передне-систолическим движением митрального клапана, так и контактом гипертрофированных папиллярных мышц с перегородкой. Поэтому ожидания от эффектов септальной редукции в изолированном виде (без вмешательства на папиллярных мышцах) были скромные. Тем не менее в период наблюдения до 3 мес. мы отметили значимое снижение внутриполостных градиентов давления.

Во время вмешательства и в последующем раннем послеоперационном периоде мы использовали так называемую "полупостоянную" стимуляцию, когда применяется электрод с активной фиксацией к правом желудочку, который фиксируется также к коже и к посто-

янному наружному электрокардиостимулятору. Такой подход ранее был описан Манхэттенской группой во главе Srihari Naidu, он позволяет минимизировать периоперационные осложнения и сократить время пребывания в палате интенсивной терапии и, соответственно, в стационаре [14].

Контрастная ЭхоКГ является важной технической деталью выполнения процедуры ЭСА. В качестве контраста может быть использован Левовист (Байер, Германия), Соновью (Бракко). Мы практикуем подход, описанный Hubert Seggewiss: в качестве эхокардиографического контраста используем ажитированный гелофузин 4% (ББраун) [15].

В настоящий момент имеются скромные западные литературные данные об ЭСА у пациентов с БФ, в данных случаях наблюдение за последующей внутрисердечной гемодинамикой осуществлялось от 6 мес. до 16 лет. Авторы отмечают, что эффективность ЭСА у пациентов с БФ сопоставима с ограниченным опубликованным опытом хирургической септальной миэктомии [8-10]. Данные о ЭСА при многоуровневой обструкции (средне-желудочковой обструкции, обструкции ВТЛЖ) нами не были найдены.

Данный случай дополняет знания относительно возможности выполнения процедуры ЭСА в этой когорте пациентов. Мы полагаем, что накопление опыта подобных процедур будет способствовать аккумулированию знаний об эффектах ЭСА у пациентов с БФ и, вероятно, улучшению исходов в этой популяции. Мы также констатируем необходимость долгосрочного дальнейшего наблюдения за нашей пациенткой.

**Отношения и деятельность:** все авторы заявляют об отсутствии потенциального конфликта интересов, требующего раскрытия в данной статье.

# Литература/References

- Germain DP. Fabry disease. Orphanet J Rare Dis. 2010;5:30.
- Burlina AB, Polo G, Salviati L, et al. Newborn screening for lysosomal storage disorders by tandem mass spectrometry in North East Italy. J Inherit Metab Dis. 2018;41(2):209-19. doi:10.1007/s10545-017-0098-3.
- Linhart A, Germain DP, Olivotto I, et al. An expert consensus document on the management of cardiovascular manifestations of Fabry disease. Eur J Heart Fail. 2020;22(7):1076-96. doi:10.1002/ejhf.1960.
- Linhart A, Kampmann C, Zamorano J, et al. Cardiac manifestations of Anderson-Fabry disease: results from the international Fabry outcome survey. Eur Heart J. 2007;28(10):1228-35. doi:10.1093/eurheartj/ehm153.
- Perry R, Shah R, Saiedi M, et al. The Role of Cardiac Imaging in the Diagnosis and Management of Anderson-Fabry Disease. JACC Cardiovasc Imaging. 2019;12(7 Pt 1): 1230-42. doi:10.1016/j.jcmg.2018.11.039.
- Ommen SR, Ho CY, Asif IM, et al. 2024 AHA/ACC/AMSSM/HRS/PACES/SCMR Guideline for the Management of Hypertrophic Cardiomyopathy: A Report of the American Heart Association/American College of Cardiology Joint Committee on Clinical Practice Guidelines. Circulation. 2024;149(23): e1239-e311. doi:10.1161/CIR.0000000000001250.
- Arbelo E, Protonotarios A, Gimeno JR, et al. ESC Scientific Document Group. 2023 ESC Guidelines for the management of cardiomyopathies. Eur Heart J. 2023;44(37):3503-626. doi:10.1093/eurhearti/ehad194.
- Zemánek D, Marek J, Dostálová G, et al. Usefulness of Alcohol Septal Ablation in the Left Ventricular Outflow Tract Obstruction in Fabry Disease Cardiomyopathy. Am J Cardiol. 2021;150:110-3. doi:10.1016/j.amjcard.2021.03.042.
- Magage S, Linhart A, Bultas J, et al. Fabry disease: percutaneous transluminal septal myocardial ablation markedly improved symptomatic left ventricular hypertrophy and out-

- flow tract obstruction in a classically affected male. Echocardiography. 2005;22(4):333-9. doi:10.1111/i.1540-8175.2005.03191.x.
- Neculae G, Predescu L, Popa O, et al. Complex management of Fabry cardiomyopathy: a case report on the use of alcohol septal ablation and chaperone therapy. Eur Heart J Case Rep. 2024;8(7):ytae317. doi:10.1093/ehipt/ytae317.
- Shloido E, Popov K, Chernyshov S, Kashtanov M. National experience of alcohol septal ablation in patients with obstructive hypertrophic cardiomyopathy: A longterm multicenter retrospective study. Indian Heart J. 2024;76(6):390-7. doi:10.1016/j. ihi.2024.11.248.
- 12. Nagueh SF, Phelan D, Abraham T, et al. Recommendations for Multimodality Cardiovascular Imaging of Patients with Hypertrophic Cardiomyopathy: An Update from the American Society of Echocardiography, in Collaboration with the American Society of Nuclear Cardiology, the Society for Cardiovascular Magnetic Resonance, and the Society of Cardiovascular Computed Tomography. J Am Soc Echocardiogr. 2022;35(6):533-69. doi:10.1016/i.echo.2022.03.012.
- Rigopoulos AG, Seggewiss H. Twenty Years of Alcohol Septal Ablation in Hypertrophic Obstructive Cardiomyopathy. Curr Cardiol Rev. 2016;12(4):285-96. doi:10.2174/15734 03x11666150107160344.
- Bali AD, Malik A, Naidu SS. Treatment Strategies for Hypertrophic Cardiomyopathy: Alcohol Septal Ablation and Procedural Step-by-Step Technique. Am J Cardiol. 2024;212S:S42-S52. doi:10.1016/j.amjcard.2023.10.064.
- Rigopoulos AG, Pfeiffer B, Seggewiss H. Serial septal branch assessment in hypertrophic obstructive cardiomyopathy: New echocardiographic contrast agent for alcohol septal ablation. Herz. 2014;39(2):219-21. doi:10.1007/s00059-013-3794-2.